

Submitted : 14 February

Revised : 15 February

Accepted : 20 February

## REVIEW: FOTOKATALIS UNTUK PENGOLAHAN LIMBAH CAIR

Transmissia Noviska Sucahya<sup>1</sup>, Novie Permatasari<sup>1</sup>, Asep Bayu Dani Nandiyanto<sup>1\*</sup>

<sup>1</sup>Program Studi Kimia, Jurusan Pendidikan Kimia, Fakultas Pendidikan Matematika dan Ilmu Pengetahuan Alam, Universitas Pendidikan Indonesia  
Jl. Dr. Setiabudhi No. 299, Bandung 40154, Jawa Barat, Indonesia  
\*Email: [nandiyanto@upi.edu](mailto:nandiyanto@upi.edu); Tel.:+62-22-2000579

### Abstrak

Semikonduktor oksida ( $TiO_2$ ,  $WO_3$ , dan  $SnO_2$ ) merupakan material yang memiliki berbagai keunggulan baik sifat fisika maupun kimia. Karena keunggulan sifatnya, semikonduktor oksida memiliki potensi sebagai fotokatalis pengolahan limbah cair. Setiap semikonduktor memiliki kemampuan yang berbeda dalam performanya sebagai fotokatalis. Performa semikonduktor oksida tergantung pada metode sintesis yang berpengaruh pada ukuran partikel, kristalisasi, kemurnian, dan komposisi fasa. Oleh karena itu, diperlukan pendekatan lebih lanjut tentang efektivitas macam – macam metode yang digunakan para peneliti dalam mensintesis nanopartikel semikonduktor oksida sebagai fotokatalis, serta bagaimana performanya dalam aplikasinya sebagai fotokatalis pengolahan limbah cair. Namun, tidak semua review jurnal memberikan informasi yang detail dan menyeluruh tentang metode dan aplikasi materialnya. Dalam paper ini akan dikaji beberapa metode yang digunakan dalam sintesis nanopartikel semikonduktor oksida, diantaranya: metode sol-gel, metode *flame spray*, dan metode hidrotermal. Dalam paper ini juga dijabarkan informasi tentang aplikasi nanopartikel semikonduktor oksida sebagai fotokatalis pengolahan limbah cair dan perbandingan performa semikonduktor oksida yang lebih unggul sebagai fotokatalis pengolahan limbah cair.

**Kata Kunci:** fotokatalis, metode sintesis, nanopartikel, semikonduktor dioksida.

### Abstract

*Semiconductor oxides ( $TiO_2$ ,  $WO_3$ , and  $SnO_2$ ) are material that have variety of advantages in terms of both physical properties and chemical properties. Because of the advantages owned by semiconductor oxides, it has a potential as photocatalyst of water treatment. Each semiconductor has a different ability in performance as a photocatalyst. Performance of semiconductor oxides depends on the method of synthesis that affects the particle size, crystallinity, purity, and composition phase. So, it needs further approach to determine the effectiveness of various methods used by researchers in conducting the synthesis of semiconductor oxides nanoparticles as a photocatalyst, and how its performs in application as photocatalyst of wastewater treatment. However, not all existing review journals show detailed and comprehensive information both in terms of the translation method and application material. In this paper will be studied several methods that can be used in the synthesis of semiconductor oxides nanoparticle, including: sol-gel method, flame spray method, and hydrothermal method. In addition, this paper also gives information about semiconductor oxides nanoparticle applications as photocatalyst of wastewater treatment and comparison of the performance of the semiconductor oxides as photocatalyst of wastewater treatment.*

**Keywords:** nanoparticle, photocatalyst, semiconductor oxides, synthesis methods.

### 1. PENDAHULUAN

Pengolahan limbah merupakan teknologi yang penting untuk kehidupan manusia dan lingkungan secara global. Limbah cair adalah permasalahan yang

cukup besar, terutama limbah yang dihasilkan dari industri tekstil. Limbah cair industri tekstil mengandung senyawa organik dan anorganik dengan konsentrasi yang cukup tinggi pada hampir setiap unit

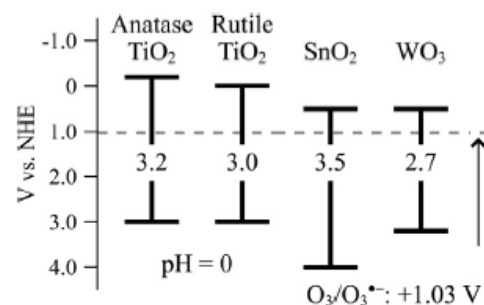
prosesnya. Akibatnya, kualitas air menurun karena tercampur dengan limbah cair tersebut. Untuk mengatasinya telah dilakukan beberapa penilitan tentang pengolahan limbah cair tersebut. Dari beberapa cara yang dapat dilakukan, penggunaan fotokatalis merupakan salah satu cara yang efektif dalam pengolahan limbah cair. Fotokatalis mengubah energi cahaya menjadi energi kimia dan dalam prosesnya akan menghasilkan radikal hidroksil yang akan bereaksi redoks dengan senyawa organik (polutan), sehingga air akan kembali jernih karena terpisahkan dari limbah cair (Miyake dkk. 2015; Emin, S. dkk. 2015; Yuan dkk. 2015; Irieb dkk. 2015). Polutan ini diubah menjadi  $O_2$  dan  $H_2$  yang lebih ramah lingkungan (Miyake dkk. 2015; Emin, dkk. 2015; Yuan dkk. 2015; Irieb dkk. 2015; Ogi dkk. 2012).

Beberapa material digunakan sebagai fotokatalis pengolahan limbah yang umumnya merupakan semikonduktor, diantaranya  $TiO_2$ ,  $WO_3$ , dan  $SnO_2$ . Ketiga fotokatalis tersebut memiliki bandgap yang berbeda, seperti yang diperlihatkan pada **Gambar 1**. Bandgap ini merupakan energi antara pita konduksi dengan pita valensi yang menghasilkan pembawa arus, pita valensi merupakan tingkat energi yang terisi elektron dengan keadaan energi yang rendah. Sedangkan, pita konduksi merupakan tingkat energi yang tidak terisi oleh elektron atau yang disebut *holes*, tetapi elektron dapat tereksitasi ke dalamnya sehingga diperoleh konduktivitas akibat dari perpindahan elektron yang mengisi *holes* dan menghasilkan arus ketika potensial elektrodanya tercukupi (Scaife dkk. 2005; Koppenol dkk. 2010). Potensial elektroda ini merupakan kuantitas bagaimana suatu senyawa mengalami oksidasi maupun reduksi (Koppenol dkk. 2010; Oller dkk. 2011). Besarnya bandgap bergantung pada banyaknya elektron membentuk sebuah kelompok pada suatu senyawa atau atom. Selain sifatnya yang semikonduktor, ukuran yang dibuat nano pun menjadi salah satu faktor efisiensi fotokatalis dalam pengolahan limbah cair (Sivakumar dkk. 2015; Neumann-Spallart dkk. 2007; Yuan dkk. 2015). Material tersebut memiliki keunggulannya masing - masing, bahkan ringkas mengenai ketiga material tersebut sebagai fotokatalis telah banyak dilaporkan, salah satunya oleh P. Sivakumar dkk. pada tahun 2015.

Dalam paper ini, kami akan membahas mengenai berbagai macam fotokatalis nanopartikel pengolahan limbah. Review ini terdiri atas tiga bagian utama, yaitu: bagian pendahuluan yang berisi informasi mengenai berbagai keunggulan sifat dan aplikasi dari  $TiO_2$ ,  $WO_3$ , dan  $SnO_2$ . Pada bagian kedua kami membahas berbagai metode yang digunakan para peneliti untuk sintesis  $TiO_2$ ,  $WO_3$ , dan  $SnO_2$  nanopartikel yang dilengkapi bahan kimia, hasil, dan beberapa kelebihan serta kekurangan dari metode tersebut. Dan bagian akhir membahas aplikasi dan informasi terapan  $TiO_2$ ,  $WO_3$ , dan  $SnO_2$  nanopartikel dalam berbagai bidang yang disertai metode sintesis dan hasil yang diperolehnya.

Berbeda dengan *review* yang dilakukan oleh P. Sivakumar, dkk. pada tahun 2015 yang menganalisis

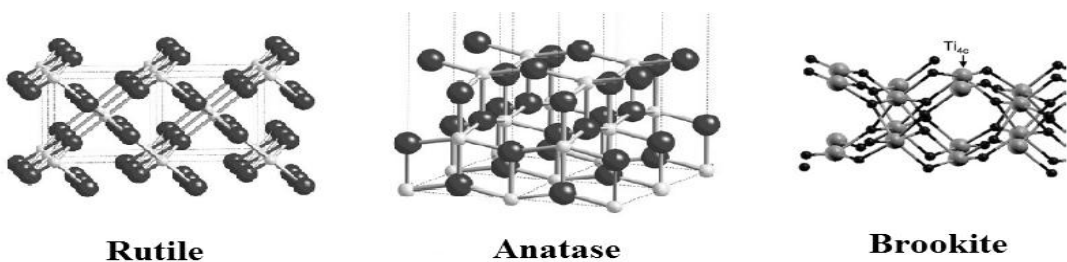
ketiga material tersebut sebagai fotokatalis, tetapi tidak menjelaskan metode sintesisnya secara rinci, keunggulan masing-masing material, dan aplikasinya dalam pengolahan limbah. Pada *review* ini akan dibahas mengenai keunggulan masing-masing material, beberapa metode sintesis nanopartikel yang umum digunakan para peneliti, dan aplikasinya sebagai fotokatalis dalam pengolahan limbah cair.



**Gambar 1.** Tingkat Energi Bandgap dari Semikonduktor Logam Oksida (Miyake dkk. 2015)

### 1.1 Fotokatalis $TiO_2$

Titanium dioksida atau dikenal dengan Titania, yang secara alami merupakan oksida dari titanium. Beberapa keunggulan yang dimiliki titania, diantaranya: memiliki sifat optik yang baik, tidak beracun, harganya murah, memiliki aktivitas fotokatalis yang baik (Smith dkk. 2010; Chen dkk. 2012; Pang dkk. 2012; Habib dkk. 2013), semikonduktor dengan bandgap yang lebar, ketersediaan yang melimpah (Smith dkk. 2010; Hema dkk. 2013; Shahini dkk. 2011; Habib dkk. 2013), tidak larut dalam air (Smith dkk. 2010), memiliki permukaan yang luas (Chen dkk. 2012; Pang dkk. 2012), stabilitas mekanik dan termal yang tinggi (Dastan dkk. 2014; Hema dkk. 2013), dan ramah lingkungan (P. Sivakumar dkk. 2015). Titania memiliki tiga jenis bentuk kristal, diantaranya: rutile, anatase, dan brookite yang dapat dilihat pada **Gambar 2**. Ketiganya diaplikasikan dari mulai cat, *sunscreens*, sampai pewarna makanan (P. Sivakumar dkk. 2015). Diantara ketiganya, umumnya titania berada dalam bentuk rutile dan anatase yang keduanya berstruktur tetragonal yang secara termodynamika anatase lebih stabil daripada rutile (Rahman dkk. 2014). Titania dalam bentuk anatase adalah titania yang paling baik digunakan sebagai fotokatalis UV, karena titania hanya dapat menyerap sinar UV yang kelimpahannya sedikit di alam (Miyake dkk. 2015). Oleh karena itu memerlukan suatu usaha untuk mengefisiensikan titania sebagai fotokatalis dalam pengolahan limbah yang membutuhkan energi yang cukup tinggi ini. Selain berpotensi sebagai fotokatalis, titania juga berpotensi dalam sel surya, *sun block* (kosmetik), pewarna makanan, pemutih gigi, sensor gas, alat optik, aditif dalam berbagai aplikasi, adsorben, dan sebagainya (Dastan dkk. 2014; Hema dkk. 2013; Wang dkk. 2010; Chekina dkk. 2013; Bessekhouad dkk. 2003; Pawar dkk. 2012).

Gambar 2. Bentuk Kristal  $\text{TiO}_2$  (Fujishima, dkk. 2008)

### 1.2 Fotokatalis $\text{WO}_3$

Tungsten trioksida yang secara alami berwarna kuning dan sering digunakan sebagai pigmen dalam cat dan keramik. Dalam bentuk nanopartikelnya, keberadaan tungsten trioksida berupa *nanofluids*, menyebar, terlapisi, transparan, dan memiliki kemurnian yang tinggi. Beberapa keunggulan yang dimilikinya, diantaranya: memiliki sifat optik yang baik (Ogi dkk. 2014), semikonduktor dengan bandgap yang kecil (Ogi dkk. 2014; Patil dkk. 2015; Zheng dkk. 2014; Rauch dkk. 2014; Emin dkk. 2014; Kusmierenk dkk. 2014), tidak beracun ramah lingkungan (Kusmierenk dkk. 2014), memiliki aktivitas fotokatalis yang baik, semikonduktor dengan bandgap yang kecil (Ogi dkk. 2014; Fakhri dkk. 2014; Patil dkk. 2014; Zheng dkk. 2014; Rauch dkk. 2014; Emin dkk. 2014; Kusmierenk dkk. 2014), memiliki permukaan yang luas, stabilitas mekanik dan termal yang tinggi, stabilitas fisikokimia yang tinggi, daya adsorpsi yang tinggi, dan ramah lingkungan (Sivakumar dkk. 2015; Miyake dkk. 2015; Koppenol dkk. 2010). Secara umum, tin dioksida sering ditemui dalam bentuk struktur rutile. Tin dioksida berpotensi sebagai fotokatalis sinar UV, karena titania hanya dapat menyerap sinar UV yang kelimpahannya sedikit di alam. Sehingga memerlukan suatu usaha untuk mengefisiensikan tin dioksida sebagai fotokatalis dalam pengolahan limbah yang membutuhkan energi yang cukup tinggi ini. Selain berpotensi sebagai fotokatalis, tin dioksida juga berpotensi dalam sel surya, pewarna makanan, fotoelektroda, sensor gas, alat optik, LED, adsorben, dan sebagainya (Sivakumar dkk. 2015; Miyake dkk. 2015; Koppenol dkk. 2010).

yang kecil, memiliki permukaan yang luas, stabilitas mekanik dan termal yang tinggi, stabilitas fisikokimia yang tinggi, daya adsorpsi yang tinggi, dan ramah lingkungan (Sivakumar dkk. 2015; Miyake dkk. 2015; Koppenol dkk. 2010). Secara umum, tin dioksida sering ditemui dalam bentuk struktur rutile. Tin dioksida berpotensi sebagai fotokatalis sinar UV, karena titania hanya dapat menyerap sinar UV yang kelimpahannya sedikit di alam. Sehingga memerlukan suatu usaha untuk mengefisiensikan tin dioksida sebagai fotokatalis dalam pengolahan limbah yang membutuhkan energi yang cukup tinggi ini. Selain berpotensi sebagai fotokatalis, tin dioksida juga berpotensi dalam sel surya, pewarna makanan, fotoelektroda, sensor gas, alat optik, LED, adsorben, dan sebagainya (Sivakumar dkk. 2015; Miyake dkk. 2015; Koppenol dkk. 2010).

## 2. METODE SINTESIS FOTOKATALIS NANOPARTIKEL

### 2.1 Metode Sol-Gel

Secara umum sintesis komposit fotokatalis menggunakan metode sol-gel dengan cara ditambahkan asam yang kemudian dipanaskan pada suhu tertentu. Metode ini dapat membuat suatu partikel berukuran nano, seragam, tidak menggumpal, murni, homogen, dan dapat mengontrol distribusi massa. Beberapa penelitian yang dilakukan dalam mensintesis nanopartikel semikonduktor oksida dapat dilihat pada **Tabel 1**.

Dari hasil sintesis nanopartikel semikonduktor dioksida dengan metode sol-gel yang dilakukan oleh beberapa peneliti tersebut, dilakukan uji morfologi dengan menggunakan instrument SEM dan TEM untuk masing – masing nanopartikel semikonduktor oksida. Hasil karakterisasi nanopartikel  $\text{TiO}_2$  menggunakan SEM ditunjukkan pada **Gambar 3.** dan TEM ditunjukkan pada **Gambar 4.** Untuk hasil karakterisasi nanopartikel  $\text{WO}_3$  menggunakan SEM ditunjukkan pada **Gambar 5.** dan TEM ditunjukkan pada **Gambar 6.** Kemudian, untuk hasil karakterisasi nanopartikel  $\text{SnO}_2$  menggunakan SEM ditunjukkan pada **Gambar 7.**

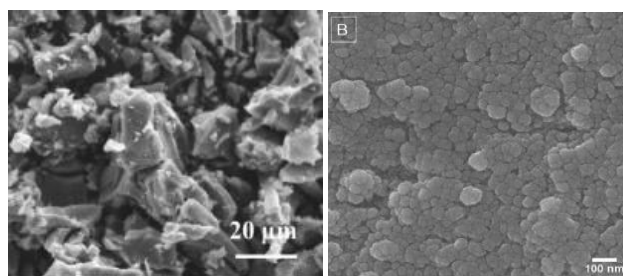
### 1.3 Fotokatalis $\text{SnO}_2$

Tin dioksida yang secara alami berwarna putih dan berwujud cairan ionik dan sering digunakan sebagai pigmen dalam cata dan keramik. Beberapa keunggulan yang dimilikinya, diantaranya: memiliki sifat optik yang baik, tidak beracun, memiliki aktivitas fotokatalis yang baik, semikonduktor dengan bandgap

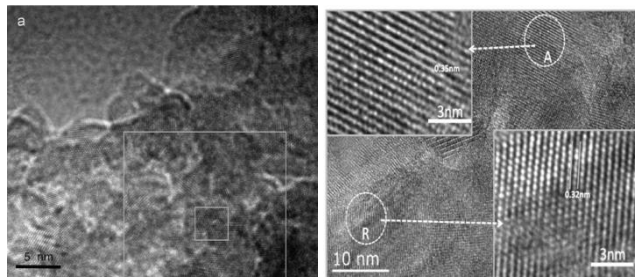
**Tabel 1.** Sintesis Nanopartikel Semikonduktor Oksida dengan Metode Sol-Gel

No	Peneliti	Bahan	Ringkasan	Hasil	Referensi
1	Ganesan	Ti[OCH(CH <sub>3</sub> ) <sub>2</sub> ] <sub>4</sub> C <sub>4</sub> H <sub>6</sub> O <sub>2</sub> CH <sub>3</sub> COCH <sub>3</sub> H <sub>2</sub> O	Ti[OCH(CH <sub>3</sub> ) <sub>2</sub> ] <sub>4</sub> dan C <sub>4</sub> H <sub>6</sub> O <sub>2</sub> dicampurkan, ditambahkan CH <sub>3</sub> COCH <sub>3</sub> dan H <sub>2</sub> O, kemudian diaduk selama 15 menit hingga berbentuk gelatin dan dipanaskan hingga suhu 125°C selama 30 menit. Dilakukan kalsinasi pada suhu 450°C selama 4 jam	<b>TiO<sub>2</sub></b> nanopartikel dengan bentuk kristal anatase. Ukuran kristalnya akan semakin besar ketika konsentrasi meningkat.	Ganesan dkk., 2015
2	Portela	Ti[OCH(CH <sub>3</sub> ) <sub>2</sub> ] <sub>4</sub> HNO <sub>3</sub> H <sub>2</sub> O	Ti[OCH(CH <sub>3</sub> ) <sub>2</sub> ] <sub>4</sub> ditambahkan HNO <sub>3</sub> yang sudah larut dalam H <sub>2</sub> O, dipanaskan pada suhu 100°C dan diaduk selama 3 hari.	<b>TiO<sub>2</sub></b> nanopartikel dengan bentuk kristal anatase.	Portela dkk., 2015
3	Shao	Ti[OCH(CH <sub>3</sub> ) <sub>2</sub> ] <sub>4</sub> C <sub>3</sub> H <sub>8</sub> O NaOH HNO <sub>3</sub>	Ti[OCH(CH <sub>3</sub> ) <sub>2</sub> ] <sub>4</sub> dan C <sub>3</sub> H <sub>8</sub> O dicampurkan, ditambahkan NaOH dan HNO <sub>3</sub> , kemudian diaduk selama dan dipanaskan hingga suhu 80°C selama 5 jam. Dilakukan kalsinasi pada suhu 200°C, 600°C, dan 800°C selama 2 jam	<b>TiO<sub>2</sub></b> dengan bentuk kristal anatase dan brookite.	Shao dkk., 2015
4	Gan	TiCl <sub>4</sub> H <sub>2</sub> O NH <sub>3</sub>	TiCl <sub>4</sub> , H <sub>2</sub> O, dan NH <sub>3</sub> dicampurkan, kemudian diaduk selama dan dipanaskan pada suhu ruang selama 24 jam.	<b>TiO<sub>2</sub></b> nanopartikel dengan bentuk kristal anatase. Ukuran kristalnya akan semakin besar ketika suhu kalsinasinya meningkat.	Gan dkk., 2014
5	Agartan	Ti(OC <sub>2</sub> H <sub>5</sub> ) <sub>4</sub> CH <sub>3</sub> COOH CH <sub>3</sub> CH <sub>2</sub> OH	Ti(OC <sub>2</sub> H <sub>5</sub> ) <sub>4</sub> dan CH <sub>3</sub> COOH dicampurkan, ditambahkan CH <sub>3</sub> CH <sub>2</sub> OH, kemudian diaduk selama dan dipanaskan hingga suhu 80°C selama 24 jam.	<b>TiO<sub>2</sub></b> nanopartikel dengan bentuk kristal anatase dan rutile. Ukuran kristalnya akan semakin besar ketika suhu kalsinasinya meningkat.	Agartan dkk., 2015
6	Kharade	Na <sub>2</sub> WO <sub>4</sub> H <sub>2</sub> O HCl H <sub>2</sub> C <sub>2</sub> O <sub>4</sub> K <sub>2</sub> SO <sub>4</sub>	Na <sub>2</sub> WO <sub>4</sub> dilarutkan dalam H <sub>2</sub> O, diaduk dan ditambahkan HCl, diaduk dan dicuci, kemudian ditambahkan H <sub>2</sub> C <sub>2</sub> O <sub>4</sub> dan K <sub>2</sub> SO <sub>4</sub> , kemudian dipanaskan hingga suhu 6°C	<b>WO<sub>3</sub></b> nanopartikel dengan bentuk kristal heksagonal yang seluruh permukaannya memiliki daya absorpsi sinar UV tinggi.	Kharade dkk., 2012

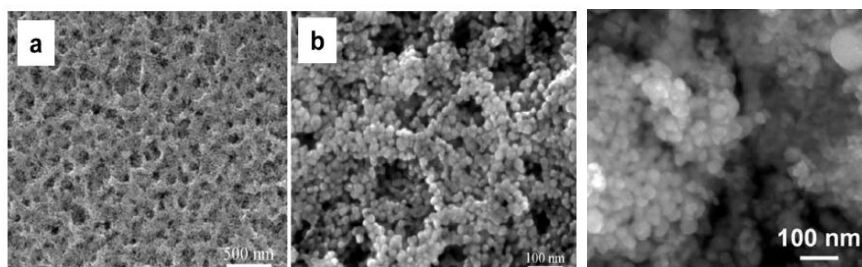
7	Emin	$W(CO)_6$ $H_2C_2O_4$ $CHCl_3:EtOH$	$W(CO)_6$ dan $H_2C_2O_4$ dicampurkan pada suhu 130°C, dipanaskan kembali pada suhu 230°C selama 10 menit, didinginkan hingga suhu 80°C, ditambahkan EtOH: $CHCl_3$ disentrifugasi selama 15 menit.	<b>WO<sub>3</sub></b> nanopartikel dengan bentuk kristal monoklinik. Suhu oksidasi yang rendah menghasilkan nanopartikel yang baik	Emin dkk., 2015
8	Epifani	$WCl_6$ $CH_2(CH_3CO)_2$ $CH_3OH$ $C_{16}H_{33}N(CH_3)_3Br$	$WCl_6$ , $CH_2(CH_3CO)_2$ , $CH_3OH$ dicampurkan, ditambahkan $C_{16}H_{33}N(CH_3)_3Br$ , diaduk dan dipanaskan pada suhu 100°C	<b>WO<sub>3</sub></b> nanopartikel dengan bentuk kristal monoklinik dan triklinik	Epifani dkk., 2010
9	Li	$WCl_6$ $C_7H_8$ $C_4H_8O$	$C_7H_8$ dan $C_4H_8O$ direfluks, ditambahkan $WCl_6$ dan $H_2O$ , diaduk selama 1 jam pada suhu 100°C	<b>WO<sub>3</sub></b> nanopartikel dengan bentuk kristal monoklinik	Li dkk., 2010
10	Wang	$Bi_2WO_6$ $C_6H_8O_7.H_2O$ $Bi(NO_3)_3.5H_2O$ $HNO_3$	Seluruh bahan dicampurkan dan dipanaskan pada suhu 80°C sampai membentuk gelatin, kemudian dipanaskan pada suhu 120°C selama 12 jam.	<b>WO<sub>3</sub></b> dengan bentuk kristal ortorombik	Wang dkk., 2015
11	Uchiyama	$SnCl_4.5H_2O$ , $CH_3COCH_2COCH_3$ $CH_3OC_2H_4OH$	Seluruh bahan dicampurkan dan dipanaskan pada suhu 700°C	<b>SnO<sub>2</sub></b> nanopartikel yang dapat menyerap sinar UV	Uchiyama dkk., 2013
12	Wang	$SnCl_4$ CTAB Alkohol	Seluruh bahan dicampurkan dan dipanaskan pada suhu 200 °C	<b>SnO<sub>2</sub></b> nanopartikel dengan bentuk kristal cassiterite.	Wang dkk., 2010
13	Ohodnicki	$Sn[OCH(CH_3)_2]_4$ $C_3H_8O$ $C_7H_8$	Seluruh bahan dicampurkan dan dipanaskan pada suhu 150 °C	<b>SnO<sub>2</sub></b> nanopartikel dengan bentuk kristal cassiterite.	Ohodnicki dkk., 2012
14	Aziz	$SnCl_2 \cdot 2H_2O$ $CH_3CH_2OH$ $CH_3COCH_2COCH_3$	Seluruh bahan dicampurkan dan dipanaskan pada suhu 80 °C	<b>SnO<sub>2</sub></b> nanopartikel dengan bentuk kristal tetragonal. Semakin tinggi suhu kalsinasi, semakin besar ukuran kristal	Aziz dkk., 2013
15	Abbas	$SnCl_2 \cdot 2H_2O$ $CH_3CH_2OH$ $CH_3COCH_2COCH_3$ PEG	Seluruh bahan dicampurkan dan dipanaskan pada suhu 80 °C, ditambahkan PEG	<b>SnO<sub>2</sub></b> nanopartikel dengan bentuk kristal rutile.	Abbas dkk., 2012



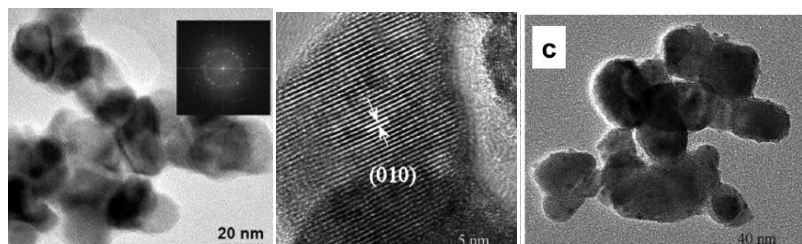
**Gambar 3.** Analisis SEM dari produk  $\text{TiO}_2$  nanopartikel dengan metode sol-gel yang diperoleh dari: (a) Ganesan dkk., 2015, (b) Shao dkk., 2015.



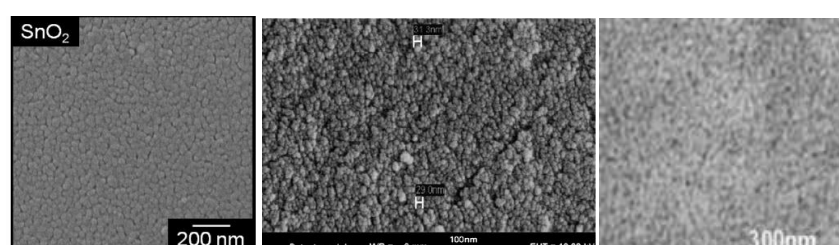
**Gambar 4.** Analisis TEM dari produk  $\text{TiO}_2$  nanopartikel dengan metode sol-gel yang diperoleh dari: (a) Gan dkk., 2014, (b) Shao dkk., 2015.



**Gambar 5.** Analisis SEM dari produk  $\text{WO}_3$  nanopartikel dengan metode sol-gel yang diperoleh dari: (a) dan (b) Emina dkk., 2015, (c) Wang dkk., 2015.



**Gambar 6.** Analisis TEM dari produk  $\text{WO}_3$  nanopartikel dengan metode sol-gel yang diperoleh dari: (a) Wang dkk., 2015, (b) dan (c) Emina dkk., 2015.



**Gambar 7.** Analisis SEM dari produk  $\text{SnO}_2$  nanopartikel dengan metode sol-gel yang diperoleh dari: (a) Uchiyama dkk., 2013, (b) Aziz dkk., 2013, (c) Abbas dkk., 2012.

## 2.2 Metode *Flame Spray*

Secara umum sintesis komposit fotokatalis nanopartikel menggunakan metode *flame spray* dengan cara penguapan dan nukleasi dari material yang mengenai *flame* yang kemudian

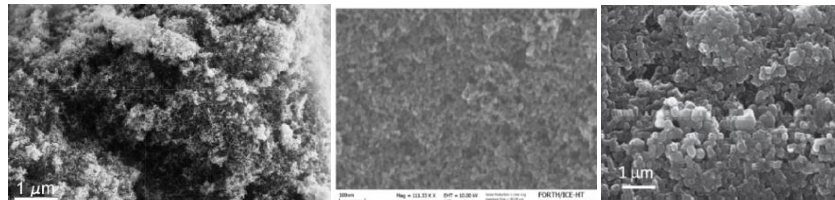
dikondensasikan. Metode ini menghasilkan nanopartikel yang baik dibandingkan metode sol-gel. Beberapa penelitian yang dilakukan dalam mensintesis nanopartikel semikonduktor oksida dapat dilihat pada **Tabel 2**.

**Tabel 2.** Sintesis Nanopartikel Semikonduktor Oksida dengan Metode *Flame Spray*

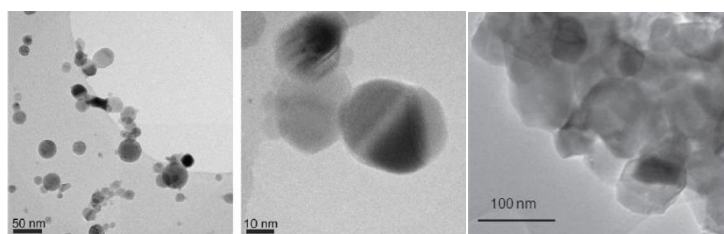
No	Peneliti	Bahan	Ringkasan	Hasil	Referensi
1	Aromaa	Ti[OCH(CH <sub>3</sub> ) <sub>2</sub> ] <sub>4</sub> C <sub>3</sub> H <sub>8</sub> O C <sub>3</sub> H <sub>6</sub> H <sub>2</sub> -O <sub>2</sub>	Seluruh bahan dicampurkan pada suhu 250°C dengan menggunakan gas H <sub>2</sub> -O <sub>2</sub>	TiO <sub>2</sub> nanopartikel dengan bentuk kristal anatase dan rutile.	Aromaa dkk., 2012
2	Selli	Ti[OCH(CH <sub>3</sub> ) <sub>2</sub> ] <sub>4</sub> CH <sub>3</sub> CH <sub>2</sub> OH C <sub>8</sub> H <sub>10</sub> CH <sub>4</sub> -O <sub>2</sub>	Seluruh bahan dicampurkan dengan menggunakan gas CH <sub>4</sub> -O <sub>2</sub>	TiO <sub>2</sub> nanopartikel dengan bentuk kristal anatase dan rutile. Suhu nyala yang tinggi menyebabkan kristal komposit lebih rutile	Selli dkk., 2014
3	Tantis	Ti[OCH(CH <sub>3</sub> ) <sub>2</sub> ] <sub>4</sub> C <sub>8</sub> H <sub>10</sub> O <sub>2</sub>	Seluruh bahan dicampurkan dengan menggunakan gas O <sub>2</sub>	TiO <sub>2</sub> nanopartikel dengan bentuk kristal anatase dan rutile.	Tanti dkk., 2015
4	Beliea	TBAB C <sub>3</sub> H <sub>8</sub> O H <sub>2</sub> -O <sub>2</sub>	Seluruh bahan dicampurkan dengan menggunakan gas H <sub>2</sub> -O <sub>2</sub>	TiO <sub>2</sub> nanopartikel dengan bentuk kristal anatase dan rutile. Semakin tinggi suhu kalsinasi, semakin banyak kristal dalam bentuk rutile	Beliea dkk., 2014
5	Phanich paht	Tungsten etoksida CH <sub>3</sub> CH <sub>2</sub> OH CH <sub>4</sub> -O <sub>2</sub>	Seluruh bahan dicampurkan dengan menggunakan gas CH <sub>4</sub> -O <sub>2</sub>	WO <sub>3</sub> nanopartikel dengan bentuk kristal monoklinik.	Phanichpaht dkk., 2012
6	Ogi	AMT (CH <sub>3</sub> ) <sub>2</sub> -N-CHO N <sub>2</sub> -O <sub>2</sub>	Seluruh bahan dicampurkan pada suhu 40°C dengan menggunakan gas N <sub>2</sub> -O <sub>2</sub>	WO <sub>3</sub> nanopartikel dengan bentuk kristal monoklinik.	Ogi dkk., 2014
7	Liewhira n	C <sub>16</sub> H <sub>30</sub> O <sub>4</sub> Sn C <sub>8</sub> H <sub>10</sub> CH <sub>4</sub> -O <sub>2</sub>	Seluruh bahan dicampurkan dengan menggunakan gas CH <sub>4</sub> -O <sub>2</sub>	SnO <sub>2</sub> nanopartikel dengan bentuk kristal heksagonal-cassiterate.	Liewhiran dkk., 2012
8	Tamaek ong	C <sub>16</sub> H <sub>30</sub> O <sub>4</sub> Sn CH <sub>3</sub> CN CH <sub>4</sub> -O <sub>2</sub>	Seluruh bahan dicampurkan dengan menggunakan gas CH <sub>4</sub> -O <sub>2</sub>	SnO <sub>2</sub> nanopartikel dengan bentuk kristal heksagonal-cassiterate.	Tamaekong dkk., 2013
9	Tuantranont	C <sub>16</sub> H <sub>30</sub> O <sub>4</sub> Sn C <sub>8</sub> H <sub>10</sub> H <sub>2</sub> -O <sub>2</sub>	Seluruh bahan dicampurkan dengan menggunakan gas H <sub>2</sub> -O <sub>2</sub>	SnO <sub>2</sub> nanopartikel dengan bentuk kristal heksagonal-cassiterate.	Tuantranont dkk., 2014

Dari hasil sintesis nanopartikel semikonduktor dioksida dengan metode *flame spray* yang dilakukan oleh beberapa peneliti tersebut, dilakukan uji morfologi dengan menggunakan instrument SEM dan TEM untuk masing – masing nanopartikel semikonduktor oksida. Hasil karakterisasi nanopartikel  $TiO_2$  menggunakan SEM ditunjukkan pada **Gambar 8**.

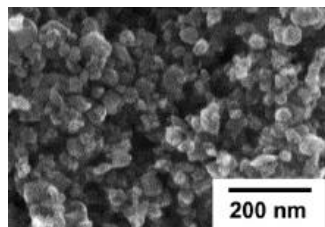
dan TEM ditunjukkan pada **Gambar 9**. Untuk hasil karakterisasi nanopartikel  $WO_3$  menggunakan SEM ditunjukkan pada **Gambar 10**. dan TEM ditunjukkan pada **Gambar 11**. Kemudian, untuk hasil karakterisasi nanopartikel  $SnO_2$  menggunakan SEM ditunjukkan pada **Gambar 12**. dan TEM ditunjukkan pada **Gambar 13**.



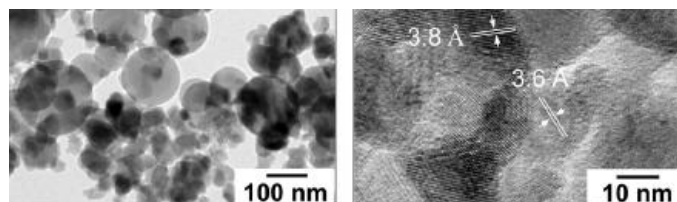
**Gambar 8.** Analisis SEM dari produk  $TiO_2$  nanopartikel dengan metode *flame spray* yang diperoleh dari: (a) Selli dkk., 2014, (b) Tantis dkk., 2015, (c) Beliea dkk., 2014.



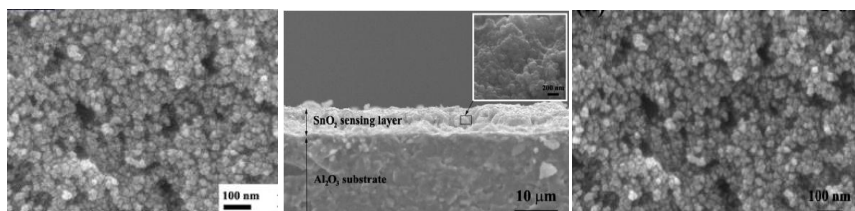
**Gambar 9.** Analisis TEM dari produk  $TiO_2$  nanopartikel dengan metode *flame spray* yang diperoleh dari: (a) dan (b) Aromaa dkk., 2012, (c) Beliea dkk., 2014.



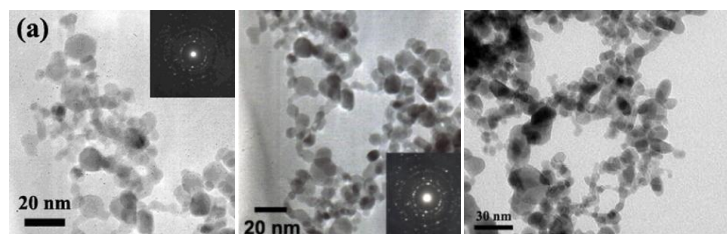
**Gambar 10.** Analisis SEM dari produk  $WO_3$  nanopartikel dengan metode *flame spray* yang diperoleh dari: (a) Ogi dkk., 2014.



**Gambar 11.** Analisis TEM dari produk  $WO_3$  nanopartikel dengan metode *flame spray* yang diperoleh dari: (a) Ogi dkk., 2014.



**Gambar 12.** Analisis SEM dari produk  $SnO_2$  nanopartikel dengan metode *flame spray* yang diperoleh dari: (a) Tamaekong dkk., 2013, (b) Liewhiran dkk., 2012, (c) Tuantranont dkk., 2014.



**Gambar 13.** Analisis TEM dari produk  $\text{SnO}_2$  nanopartikel dengan metode *flame spray* yang diperoleh dari: (a) Tamaekong dkk., 2013, (b) Liewhiran dkk., 2012, (c) Tuantranont dkk., 2014.

### 2.3 Metode Hidrotermal

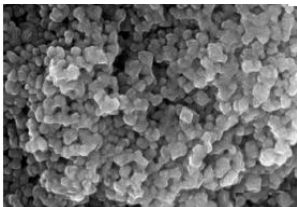
Metode ini hanya mencampurkan bahan baku dengan memanaskannya pada suhu tertentu.

Beberapa penelitian yang dilakukan dalam mensintesis nanopartikel semikonduktor oksida dapat dilihat pada **Tabel 3**.

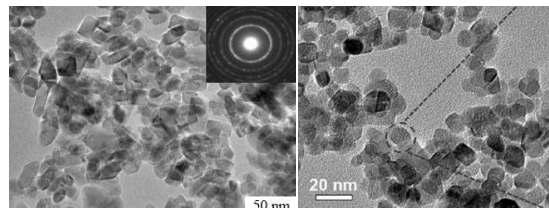
**Tabel 3.** Sintesis Nanopartikel Semikonduktor Oksida dengan Metode Hidrotermal

No	Peneliti	Bahan	Ringkasan	Hasil	Referensi
1	Xiao-ming	$\text{Ti}(\text{SO}_4)_2$ $\text{NH}_4$	Seluruh bahan dicampurkan pada suhu 240°C	$\text{TiO}_2$ nanopartikel dengan bentuk kristal anatase	Xiaoming dkk., 2015
2	Zhang	$\text{Ti}(\text{OC}_4\text{H}_9)_4$ $\text{CH}_3\text{CH}_2\text{OH}$ $\text{NH}_4\text{Cl}$	Seluruh bahan dicampurkan pada suhu 110°C	$\text{TiO}_2$ nanopartikel dengan bentuk kristal anatase	Zhang dkk., 2014
3	Chen	$\text{Ti}[\text{OCH}(\text{CH}_3)_2]_4$ $\text{CH}_3\text{COOH}$	Seluruh bahan dicampurkan pada suhu 240°C	$\text{TiO}_2$ nanopartikel dengan bentuk kristal anatase	Chen dkk., 2014
4	Zeng	$\text{Na}_2\text{WO}_4 \cdot 2\text{H}_2\text{O}$ $\text{H}_2\text{O}_2$ $\text{HCl}$	Seluruh bahan dicampurkan pada suhu 160°C	$\text{WO}_3$ nanopartikel dengan bentuk kristal heksagonal	Zeng dkk., 2015
5	Bhosale	$\text{Na}_2\text{WO}_4 \cdot 2\text{H}_2\text{O}$ $\text{NaCl}$ $\text{HCl}$	Seluruh bahan dicampurkan pada suhu 180°C	$\text{WO}_3$ nanopartikel dengan bentuk kristal tetragonal	Bhosale dkk., 2014
6	Sanchez-Martinez	$(\text{NH}_4)_2\text{WO}_4$ $\text{NH}_4\text{OH}$ $\text{HNO}_3$	Seluruh bahan dicampurkan pada suhu 180°C	$\text{WO}_3$ nanopartikel dengan bentuk kristal heksagonal dan monoklinik	Sanchez-Martinez dkk., 2014
7	Umar	$\text{SnCl}$ $\text{NH}_4\text{OH}$	Seluruh bahan dicampurkan pada suhu 180°C	$\text{SnO}_2$ nanopartikel dengan bentuk kristal tetragonal rutile	Umar dkk., 2015
8	Singh	$\text{SnCl}_4 \cdot 5\text{H}_2\text{O}$ $\text{HCl}$ $\text{NH}_4\text{OH}$	Seluruh bahan dicampurkan pada suhu 100°C	$\text{SnO}_2$ nanopartikel dengan bentuk kristal tetragonal rutile	Singh, dkk., 2015
9	Chu	$\text{SnCl}_4 \cdot 5\text{H}_2\text{O}$ $\text{NH}_4\text{OH}$ $\text{HCl}$	Seluruh bahan dicampurkan pada suhu 160°C	$\text{SnO}_2$ nanopartikel dengan bentuk kristal tetragonal rutile	Chu dkk., 2014

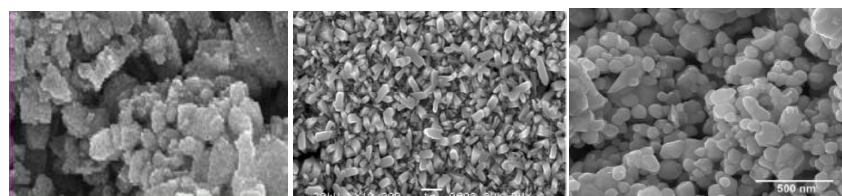
Dari hasil sintesis nanopartikel semikonduktor dioksida dengan metode hidrotermal yang dilakukan oleh beberapa peneliti tersebut, dilakukan uji morfologi dengan menggunakan instrument SEM dan TEM untuk masing – masing nanopartikel semikonduktor oksida. Hasil karakterisasi nanopartikel  $TiO_2$  menggunakan SEM ditunjukkan pada **Gambar 14**.



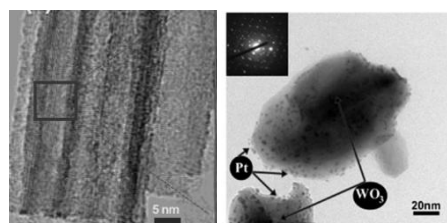
**Gambar 14.** Analisis SEM dari produk  $TiO_2$  nanopartikel dengan metode hidrotermal yang diperoleh dari: (a) Xiaoming, 2014.



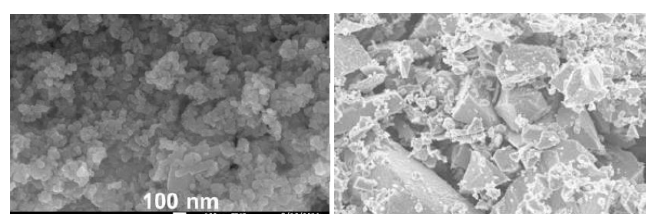
**Gambar 15.** Analisis TEM dari produk  $TiO_2$  nanopartikel dengan metode hidrotermal yang diperoleh dari: (a) Xiaoming, 2014, (b) Chen dkk., 2014.



**Gambar 16.** Analisis SEM dari produk  $WO_3$  nanopartikel dengan metode hidrotermal yang diperoleh dari: (a) Phanichphant dkk., 2014, (b) Bhosale dkk., 2014, (c) Sanchez-Martinez dkk., 2014.

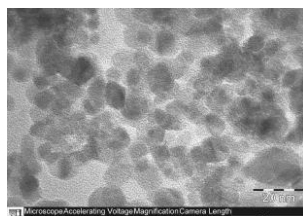


**Gambar 17.** Analisis TEM dari produk  $WO_3$  nanopartikel dengan metode hidrotermal yang diperoleh dari: (a) Zeng dkk., 2015, (b) Phanichphant dkk., 2014.



**Gambar 18.** Analisis SEM dari produk  $SnO_2$  nanopartikel dengan metode hidrotermal yang diperoleh dari: (a) Umar dkk., 2015, (b) Singh dkk., 2015.

**14.** dan TEM ditunjukkan pada **Gambar 15**. Untuk hasil karakterisasi nanopartikel  $WO_3$  menggunakan SEM ditunjukkan pada **Gambar 16**. dan TEM ditunjukkan pada **Gambar 17**. Kemudian, untuk hasil karakterisasi nanopartikel  $SnO_2$  menggunakan SEM ditunjukkan pada **Gambar 18**. dan TEM ditunjukkan pada **Gambar 19**.



**Gambar 19.** Analisis TEM dari produk  $\text{SnO}_2$  nanopartikel dengan metode hidrotermal yang diperoleh dari: (a) Chu dkk., 2014.

### 3. APLIKASI SEBAGAI FOTOKATALIS PENGOLAHAN LIMBAH CAIR

Banyak paper yang mengkaji semikonduktor sebagai fotokatalis yang didasarkan pada karakteristik dari semikonduktor tersebut seperti yang dilakukan oleh Miyake dkk., pada tahun 2015 yang dapat dilihat pada **Tabel 4**. Suatu semikonduktor logam oksida dipilih sebagai fotokatalis pengolahan limbah cair karena kemampuannya dalam proses generasi

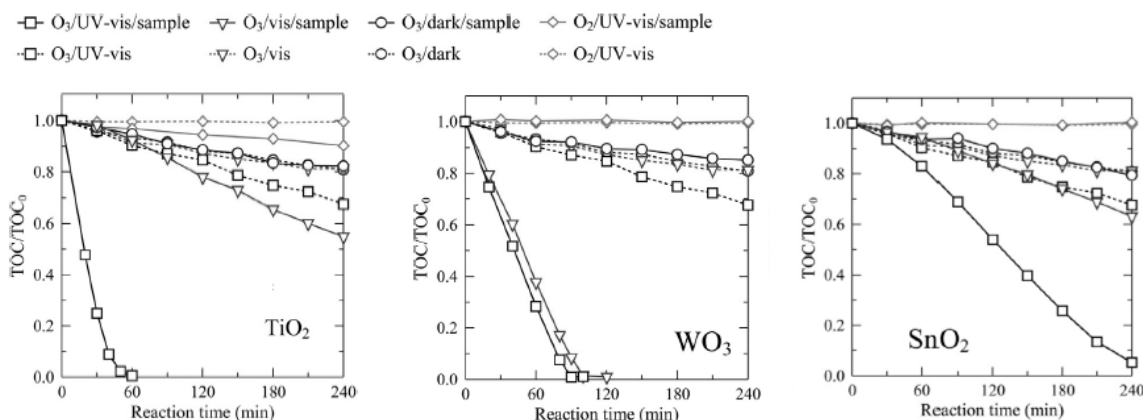
elektron-hole pada permukaannya yang akan bereaksi dengan ion hidroksil dan oksida pada senyawa organik (polutan) dan mengubahnya menjadi  $\text{O}_2$  dan  $\text{H}_2$ . (Madras dkk., 2013). Metode ini dipilih sebagai metode yang efektif karena waktu yang dibutuhkan dalam mendegradasi polutan yang sedikit, rendahnya resiko toksikan baru yang dihasilkan, dan ketersediaan material yang melimpah.

**Tabel 4.** Karakteristik dari Semikonduktor Logam Oksida (Miyake dkk., 2015)

	Sampel	Crystal system	Band gap energy (eV)	Specific surface area ( $\text{m}^2/\text{g}$ )
$\text{TiO}_2$	Commercial reagent powder	Tetragonal (Anatase + Rutile)	3.1	52.3
$\text{SnO}_2$	Commercial reagent powder	Tetragonal	3.6	54.1
$\text{WO}_3$	Commercial reagent powder	Monoclinic + Triclinic	2.7	3.6

Miyake dkk., pada tahun 2015 melakukan penelitian terhadap  $\text{TiO}_2$ ,  $\text{WO}_3$ , dan  $\text{SnO}_2$  sebagai fotokatalis pengolahan limbah cair dengan bantuan ozon melalui radiasi sinar UV dan sinar tampak yang kemudian membandingkan kemampuan ketiga

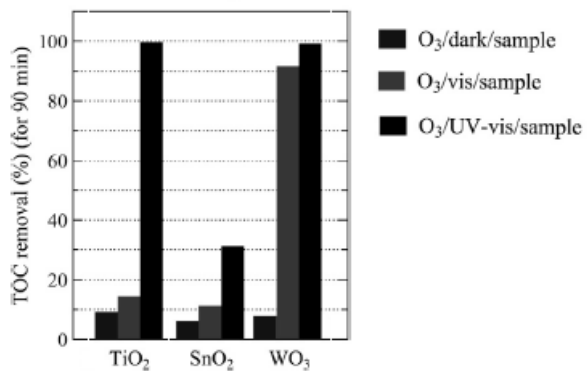
fotokatalis tersebut. Untuk menguji kemampuan ketiga fotokatalis mendegradasi senyawa organik, Miyake, dkk melakukan percobaan terhadap larutan asam oksalat yang hasilnya dapat dilihat pada **Gambar 20**.



**Gambar 20.** Hasil Fotokatalis Degradasi Senyawa Organik dalam Larutan Asam Oksalat (Miyake dkk., 2015)

Dari **Gambar 20**. Dapat diketahui bahwa ketiga fotokatalis mampu mendegradasi senyawa organik yang prosesnya akan semakin cepat ketika ditambahkan ozon dan diradiasi oleh sinar UV. Kemudian, percobaan dilakukan terhadap sampel limbah cair yang hasilnya memperlihatkan bahwa

$\text{WO}_3$  merupakan fotokatalis yang efisien karena kemampuannya sebagai fotokatalis pendegradasi senyawa organik yang dapat menyerap sinar UV maupun sinar tampak. Hasil percobaan tersebut dapat dilihat pada **Gambar 21**.

**Gambar 21.** Hasil Fotokatalis Degradasi Senyawa Organik dalam Limbah Cair (Miyake dkk., 2015)

Selain itu, banyaknya radikal OH yang terbentuk merupakan salah satu faktor efektivitas suatu material sebagai fotokatalis, karena semakin banyaknya radikal OH yang terbentuk, semakin banyak pula senyawa organik sebagai polutan yang akan bereaksi redoks dengan material tersebut, sehingga semakin cepat proses degradasi yang terjadi pada senyawa organik tersebut. Dalam penelitian yang dilakukan oleh Nosaka dkk., pada tahun 2015 membandingkan pembentukan radikal OH pada WO<sub>3</sub> dan BiVO<sub>4</sub> yang juga dikombinasi dengan Cu. Dari hasil penelitian tersebut, diketahui bahwa WO<sub>3</sub> mampu menghasilkan OH radikal lebih banyak sehingga lebih efektif sebagai fotokatalis.

#### 4. KESIMPULAN

Semikonduktor dioksida, seperti TiO<sub>2</sub>, WO<sub>3</sub>, dan SnO<sub>2</sub>, dapat berfungsi sebagai fotokatalis pengolahan limbah yang efisien dengan berbagai metode sintesis fotokatalis nanopartikel yang menyebabkan permukaan komposit tersebut lebih luas sehingga dapat lebih efisien dalam mendegradasi senyawa organik (polutan), diantaranya metode sol-gel, metode *flame spray*, dan metode hidrotermal. Diantara ketiga fotokatalis nanopartikel tersebut, WO<sub>3</sub> merupakan fotokatalis yang paling efektif karena dapat bekerja di bawah radiasi sinar UV dan sinar tampak.

#### 5. DAFTAR PUSTAKA

- Abbas, Saad Saber; Madzlan Aziz; Wan Rosemaria Wan Baharom; Wan Zuraidah Wan Mahmud, Structure of SnO<sub>2</sub> nanoparticles by sol-gel method. Materials Letters, 2012, 74, 62–64.
- Agartan, Lutfi; Derya Kapusuz; Jongee Park; Abdullah Ozturk, Effect of initial water content and calcinations temperature on photocatalytic properties of TiO<sub>2</sub> nanopowders synthesized by the sol-gel process. Ceramics International, 2015.
- Aromaa, Mikko; Anssi Arffman; Heikki Suhonen; Janne Haapanen; Jorma Keskinen; Mari Honkanen; Juha-Pekka Nikkanen; Erkki Levanen; Maria E. Messing; Knut Deppert; Hannu Teisala; Mikko Tuominen; Jurkka Kuusipalo; Milena Stepien; Jarkko J. Saarinen; Martti Toivakka; Jyrki M. Makela, Atmospheric synthesis of superhydrophobic TiO<sub>2</sub> nanoparticle deposits in a single step using Liquid Flame Spray. Journal of Aerosol Science, 2012, 52, 57–68.
- Aziz, Madzlan; Saad Saber Abbas; Wan Rosemaria Wan Baharom, Size-controlled synthesis of SnO<sub>2</sub> nanoparticles by sol-gel method. Materials Letters, 2013, 91, 31–34.
- Beliea, Nele De; Anibal Maury-Ramirez; Juha-Pekka Nikkanen; Mari Honkanen; Kristof Demeestere; Erkki Levänen, TiO<sub>2</sub> coatings synthesized by liquid flame spray and low temperature sol-gel technologies on autoclaved aerated concrete for air-purifying purposes. Material Scharacterization, 2014, 87, 74 – 85.
- Bessekhouad Y.; D. Robert; J. V. Weber, Preparation of TiO<sub>2</sub> nanoparticles by Sol-Gel route: a article, Hindawi International Journal of Photoenergy, 2003, 5, 153–157.
- Bhosale1, P.N.;V.V. Kondalkar; R.R. Kharade; S.S. Mali; R.M. Mane; P.B. Patil; P.S. Patil; S. Choudhury, Nanobrick-like WO<sub>3</sub> Thin Films: Hydrothermal Synthesis and Electrochromic Application. Superlattices and Microstructures, 2014.
- Chekina, Fereshteh; Samira Bagherib; Sharifah Bee Abd Hamid, Synthesis of Pt doped TiO<sub>2</sub> nanoparticles: Characterization and application for electrocatalytic oxidation of l-methionine: a article, Elsevier, Sensors and Actuators B, 2013, 177, 898–903.
- Chen, Daimei; Qian Zhu; Fengsan Zhou; Xutao Deng; Fatang Li, Synthesis and photocatalytic performances of the TiO<sub>2</sub> pillared montmorillonite: a article, Elsivier, Journal of Hazardous Materials, 2012, 235–236, 186– 193.
- Chen,Yunxia; Tao Zeng; Xiaoli Su; Yueming Li; Qing Feng, Hydrothermal steam induced crystallization synthesis of anatase TiO<sub>2</sub> nanoparticles with high photovoltaic response. MaterialsLetters, 2014, 119, 43–46.
- Chu, Guang-wen; Qiu-hua Zeng; Zhi-gang Shen;, Haili Zou; Jian-feng Chen, Preparation of SnO<sub>2</sub> nanoparticles using a helical tube reactor via continuous hydrothermal route. Chemical Engineering Journal, 2014.
- Dai, Wei-Lin; Jing Ding; Qianqian Liu; Zhaoyan Zhang; Xin Liu; Junqi Zhao; Shibiao Cheng; Baoning Zong, Carbon nitride nanosheets decorated with WO<sub>3</sub>

- nanorods: Ultrasonic-assisted facile synthesis and catalytic application in thegreen manufacture of dialdehydes. *Applied Catalysis B: Environmental*, 2015, 165, 511–518.
- Dastan, Davoud; N. B. Chaure, Influence of Surfactants on TiO<sub>2</sub> Nanoparticles Grown by Sol-Gel Technique: a article, *International Journal of Materials, Mechanics and Manufacturing*, 2014, 2(1), 21-24.
- Emin S.; M.de Respinis; M. Fanettia; W. Smith; M. Valanta; B. Damb, A simple route for preparation of textured WO<sub>3</sub> thin films from colloidal W nanoparticles and their photoelectron chemical water splitting properties. *Applied Catalysis B: Environmental*, 2015, 166–167, 406–412.
- Epifani, Mauro; Jordi Arbiol; Raúl Díaz; Teresa Andreu; Pietro Siciliano; Joan R. Morante, Morphological and structural characterization of WO<sub>3</sub> and Cr-WO<sub>3</sub> thin films synthesized by sol-gel process. *Thin Solid Films*, 2010, 518, 4512–4514.
- Fakhri, Ali dan Sajjad Behrouz, Photocatalytic properties of tungsten trioxide (WO<sub>3</sub>) nanoparticles for degradation of Lidocaine under visible and sunlight irradiation. *Solar Energy*, 2015, 112, 163–168.
- Fujishima, Akira; Xintong Zhang; Donald A. Tryk, TiO<sub>2</sub> photocatalysis and related surface phenomena. *Surface Science Reports*, 2008, 63, 515-582.
- Gan, Dershin; Cheng-Ling Laia; Hsing-Lu Huang; Jung-Hsiung Shena; Kuang-KuoWang, The formation of anatase TiO<sub>2</sub> from TiO nanocrystals in sol-gel process. *Ceramics International*, 2014.
- Ganesan, Ramakrishnan; Ravikiran Nagarjuna; Sounak Roy, Polymerizable solegel precursor mediated synthesis of TiO<sub>2</sub> supported zeolite-4A and its photodegradation of methylene blue. *Microporous and Mesoporous Materials*, 2015, 211, 1-8.
- Habib, Md Ahsan; Md Tusan Shahadat; Newaz Mohammed Bahadur; Iqbal M I Ismail; Abu Jafar Mahmood, Synthesis and characterization of ZnO-TiO<sub>2</sub> nanocomposites and their application as photocatalysts: a article, *Open access*, Springer, *International Nano Letters*, 2013, 3(5), 1-8.
- Hema, M.; A.Yelil Arasi; P.Tamilselvi; R.Anbarasan, Titania Nanoparticles Synthesized by Sol-Gel Technique: a article, *Chemical Science Transactions*, 2013, 2(1), 239-245.
- Iriei, Hiroshi dan Satoshi Tanigawa, Visible-light-sensitive two-step overall water-splitting based on band structure control of titanium dioxide. *Applied Catalysis B: Environmental Catalys*, 2015.
- Kharade, Rohini R; K.R. Patil; P.S. Patil;P.N. Bhosale, Novel microwave assisted sol-gel synthesis (MW-SGS) and electrochromic performance of petal like h-WO<sub>3</sub> thin films. *Materials Research Bulletin*, 2012, 47, 1787–1793.
- Koppenol, Willem. H.; Stanbury, David. M.; Bounds, Patricia L, Electrode Potensial pf partially reduced oxygen species, from dioxygen to water. *Free Radical Biology and Medicine*, 2010, 49, 317-322.
- Kusmierenk, Elzbieta dan Ewa Chrzescijanska, Application of TiO<sub>2</sub>-RuO<sub>2</sub>/Ti electrodes modified with WO<sub>3</sub> in electro- and photoelectrochemical oxidation of Acid Orange 7 dye. *Journal of Photochemistry and Photobiology A: Chemistry*, 2015, 302, 59–68.
- Li, Lei; Jian Li; Qiao-Ling Zhao; Guo-Yi Zhang; Jian-Zhuang Chen; Liang Zhong; Jin Huang; Zhi Ma, Synthesis of monoclinic WO<sub>3</sub> nanosphere hydrogen gasochromic film via a sol-gel approach using PS-b-PAA diblock copolymer as template. *Solid State Sciences*, 2010, 12, 1393-1398.
- Liewhiran, C.; N. Tamaekong; A. Wisitsoraat; S. Phanichphant, Highly selective environmental sensors based on flame-spray-made SnO<sub>2</sub> Nanoparticles. *Sensors and Actuators B*, 2012, 163, 51– 60.
- Madras, Giridhar dan Satyapaul A. Singh, Photocatalytic degradation with combustion synthesized WO<sub>3</sub> and WO<sub>3</sub>/TiO<sub>2</sub> mixed oxides under UV and visible light. *Separation and Purification Technology*, 2013, 105, 79–89.
- Miyake, Michihiro; Takayuki Mano; Shunsuke Nishimoto; Yoshikazu Kameshima, Water treatment efficacy of various metal oxide semiconductors for photocatalytic ozonation under UV and visible light irradiation. *Chemical Engineering Journal*, 2015, 264, 221–229.
- Neumann-Spallart, M.;G. Waldner, A. Bruger; N.S. Gaikwad, WO<sub>3</sub> thin films for photoelectrochemical purification of water. *Chemosphere*, 2007, 67, 779–784.
- Ogi, Takashi, Hendri Widiyandari; Agus Purwanto; Ratna Balgis; Kikuo Okuyama, CuO/WO<sub>3</sub> and Pt/WO<sub>3</sub> nanocatalysts for efficient pollutant degradation using visible light irradiation. *Chemical Engineering Journal*, 2012, 180, 323–329.
- Ogi, Takashi; Osi Arutanti; Asep Bayu Dani Nandiyanto; Ferry Iskandar; Tae Oh Kim; Kikuo Okuyama, Synthesis of composite WO<sub>3</sub>/TiO<sub>2</sub> nanoparticles by flame-assisted spray pyrolysis and their photocatalytic activity. *Journal of Alloys and Compounds*, 2014, 591, 121–126.
- Ohodnicki Jr, Paul R.; Sittichai Natesakhawat; John P. Baltrus; Bret Howard; Thomas D. Brown, Characterization of optical, chemical, and structural changes upon reduction of sol-gel deposited SnO<sub>2</sub> thin films for optical gas sensing at high temperatures. *Thin Solid Films*, 2012, 520, 6243–6249.
- Oller, I.; Malato, S.; Sanchez-Perez, J.A., Combination of Advanced Oxidation Processes and Biological Treatments for Wastewater Decontamination-A. *Science of The Total Environment*, 2011, 409, 4141-4166.
- Phanichphat, Sukon; Thanittha Samerjai; Nittaya Tamaekong; Khatcharin Wetchakuna; Viruntachar Kruefu, Chaikarn Liewhiran; Chawarat Siriwong; Anurat Wisitsoraat, Flame-spray-made metal-loaded semiconducting metal

- oxides thick films for flammable gas sensing. Sensors and Actuators B, 2012, 171– 172, 43– 61.
- Pang, Suh Cem; Sze Yun Kho; Suk Fun Chin, Fabrication of Magnetite/Silica/Titania Core-Shell Nanoparticles: a article, Hindawi Publishing Corporation, Journal of Nanomaterials, 2012, 1-6.
- Patil, Kashinath R.; Aarti H. Jadhav; Sagar H. Patil; Shivaram D. Sathaye, A method to form semiconductor quantum dot (QD) thin films by igniting a flame at air-liquid interface: CdS and WO<sub>3</sub>. Journal of Colloid and Interface Science, 2015, 439, 121–128.
- Pawar, M.J.; P. B. Kaware; R. V. Bijewar, Ce<sup>3+</sup> Doped TiO<sub>2</sub> Nanoparticles; Synthesis and Photocatalytic Activity: a article, Int. J. Emerg. Sci, 2012, 2(1), 149-160.
- Phanichphant, Sukon; Thaniththa Samerjai; Chaikarn Liewhiran; Anurat Wisitsoraat; Adisorn Tuantranont; Chanitpa Khanta, Highly selective hydrogen sensing of Pt-loaded WO<sub>3</sub> synthesized by hydrothermal/impregnation methods. International journal of hydrogen energy, 2014, 39, 6120-6128.
- Portela, R.; R.M. Camara; F. Gutierrez-Martin; B. Sanchez, Photocatalytic activity of TiO<sub>2</sub> films prepared by surfactant-mediated sol-gel methods over commercial polymer substrates. Chemical Engineering Journal, 2015, 283, 535–543.
- Rahman, Taufik; Muhammad A. Fadhluloh; Asep Bayu D. Nandiyanto; Ahmad Mudzakir, Review: Sintesis Titanium Diokasida Nanopartikel. Jurnal Integrasi Proses, 2014, 1(5), 15 – 29.
- Rauch, Dieter; Gaby Albrecht; David Kubinski; Ralf Moos, A microwave-based method to monitor the ammonia loading of avanadia-based SCR catalyst. Applied Catalysis B: Environmental, 2015, 165, 36–42.
- Sánchez-Martínez, D.; Diana B.Hernandez-Urestia; A.Martínez-dela Cruza; S. Sepúlveda-Guzmána; Leticia M. Torres-Martínez, Characterization and photocatalytic properties of hexagonal and monoclinic WO<sub>3</sub> prepared via microwave-assisted hydrothermal synthesis. Ceramics International, 2014, 40, 4767–4775.
- Scaife, D. E. Oxide Semiconductor in Photoelectrochemical Conversion of Solar Energy. Solar Energy, 2005, (25), 41-54.
- Selli, Elena; Luca Giacomo Bettini; Maria Vittoria Dozzic; Flavio Della Fogliaa; Gian Luca Chiarelloc; Cristina Lenardia; Paolo Piseria; Paolo Milania, Mixed-phase nanocrystalline TiO<sub>2</sub> photocatalysts produced by flame spray pyrolysis. Applied Catalysis B: Environmental, 2014.
- Shahini, Sharif; Masoud Askari; S K sadrnezhaad, Gel-sol synthesis and aging effect on highly crystalline anatase nanopowder: a article, Bull. Mater. Sci, 2011, 34(6), 1189–1195.
- Shao, Godlisten N.; Bridget K. Mutuma; Won Duck Kim; Hee Taik Kim, Sol-gel synthesis of mesoporous anatase-brookite and anatase- brookite-rutile TiO<sub>2</sub> nanoparticles and their photocatalytic properties. Journal of Colloid and Interface Science, 2015, 442, 1–7.
- Singh, Davender; Virender Singh Kundu; A.S. Maan, Structural, morphological and gas sensing study of palladium doped tin oxide nanoparticles synthesized via hydrothermal technique. Journal of Molecular Structure, 2015, 1100, 562-569.
- Sivakumar, P. dan D.Sudha, Review on the photocatalytic activity of various composite catalysts. Chemical Engineering and Processing, 2015.
- Smith, Wilson; Shun Mao; Ganhua Lu; Alexis Catlett; Junhong Chen; Yiping Zhao, The effect of Ag nanoparticle loading on the photocatalytic activity of TiO<sub>2</sub> nanorod arrays: a article, Elsevier, Chemical Physics Letters, 2010, 485, 171–175.
- Tamaekong, N.; C. Liewhiran; A. Wisitsoraat; A. Tuantranont; S. Phanichphant, Ultra-sensitive H<sub>2</sub> sensors based on flame-spray-made Pd-loaded SnO<sub>2</sub> sensing films. Sensors and Actuators B, 2013, 176, 893– 905.
- Tantis, Iosif; Maria Vittoria Dozzi; Luca Giacomo Bettini; Gian Luca Chiarello; Vassiliios Dracopoulos; Elena Sellii; Panagiotis Lianos, Highly functional titania nanoparticles produced by flame spray pyrolysis. Photoelectrochemical and solar cell applications. Applied Catalysis B: Environmental, 2015.
- Tuantranont, Adisorn; Chaikarn Liewhiran; Nittaya Tamaekong; Anurat Wisitsoraat; Sukon Phanichphant, The effect of Pt nanoparticles loading on H<sub>2</sub> sensing properties of flame-spray-made SnO<sub>2</sub> sensing films. Materials Chemistry and Physics, 2014, 147, 661-672.
- Uchiyama, Hiroaki; Ryosuke Nagao; Hiromitsu Kozuka, Photoelectrochemical properties of ZnO-SnO<sub>2</sub> films prepared by sol-gel method. Journal of Alloys and Compounds, 2013, 554, 122–126.
- Umar, Ahmad; Randeep Lamba; S.K.Mehta; Sushil Kumar Kansal, ZnO doped SnO<sub>2</sub> nanoparticles heterojunction photo-catalyst for environmental remediation. Journal of Alloys and Compounds, 2015.
- Vanderwiel, David dan Ambareesh D. Murkute, Active Sites Evaluation of Vanadia Based Powdered and Extruded SCR Catalysts Prepared on Commercial Titania. Catal Lett, 2015, 145, 1224–1236.
- Wang, Fan; Xuetang Xua; Yuanxing Gea; Hong Wang; Bin Lia; Liuhui Yu; Yanyan Liang; Kun Chen, Sol-gel synthesis and enhanced photocatalytic activity of doped bismuth tungsten oxide composite. Materials Research Bulletin, 2015, 73, 385–393.
- Wang, Junjing; Shuiqing Li; Wen Yan; Stephen D. Tse; Qiang Yao, Synthesis of TiO<sub>2</sub> nanoparticles by premixed stagnation swirl flames: a article, Elsevier, Proceedings of the Combustion Institute, 2010.
- Wang, Yude; Qiuying Mu; Guofeng Wang; Zhenlai Zhou, Sensing characterization to NH<sub>3</sub> of nanocrystalline Sb-doped SnO<sub>2</sub> synthesized by a

- nonaqueous sol-gel route. Sensors and Actuators B, 2010, 145, 847–853.
- Xiaoming, Fu, Synthesis and Optical Absorption Properties of Anatase TiO<sub>2</sub> Nanoparticles via a Hydrothermal Hydrolysis Method. Rare Metal Materials and Engineering, 2015, 44(5), 1067-1070.
- Yoshio, Nosaka dan Zhang, Jie, Generation of OH Radical and Oxidation Mechanism in Photocatalyst of WO<sub>3</sub> and BiVO<sub>4</sub> powders. Journal of Photochemistry and Photobiology: A Chemistry, 2015, 303-304, 53-58.
- Yuan, Wenxia; Da Wang; Zhongnan Guo; Yuan Peng, Visible light induced photocatalytic overall water splitting over micro-SiC driven by the Z-scheme system. Catalysis Communications, 2015, 61, 53-56.
- Zeng, Wen; Bin Miao; Shahid Hussain; Qiuping Mei; Sibo Xu; He Zhang; Yanqiong Li; Tianming Li, Large scale hydrothermal synthesis of monodisperse hexagonal WO<sub>3</sub> nanowire and the growth mechanism. Materials Letters, 2015, 147, 12-15.
- Zhang, Hui; Zhenwei Yang; Xingtao Zhang; Ningtao Maoa, Photocatalytic effects of wool fibers modified with solely TiO<sub>2</sub> nanoparticles and N-doped TiO<sub>2</sub> nanoparticles by using hydrothermal method. Chemical Engineering Journal, 2014, 254, 106–114.
- Zheng, Yuhong; Li Fu; Wen Cai; Aiwu Wang, Photocatalytic hydrogenation of nitrobenzene to aniline over tungsten oxide-silver nanowires. Materials Letters, 2014, 142, 201–203.